

06; 07

© 1991 г.

ЗАВИСИМОСТЬ СИГНАЛЬНО-ШУМОВЫХ ХАРАКТЕРИСТИК ЖИДКОКРИСТАЛЛИЧЕСКОГО ПРОСТРАНСТВЕННОГО МОДУЛЯТОРА СВЕТА ОТ РЕЖИМА ПИТАНИЯ

*B. V. Беляев, Н. Н. Двуличанская, А. В. Долгих,
А. Б. Кузнецов, Е. И. Сальников*

Для пространственных модуляторов света на основе структуры металл—диэлектрик—полупроводник—жидкий кристалл исследованы зависимости полезного сигнала и фонового шума от амплитуды и частоты напряжения питания и интенсивности входной засветки. Приведено математическое описание зависимости дифракционной эффективности ПМС от режима питания и засветки. Описаны оптимальные по отношению сигнал/фон режимы питания ПМС.

Пространственные модуляторы света (ПМС) на основе структуры металл—диэлектрик—полупроводник—жидкий кристалл (МДП—ЖК) в настоящее время широко применяются в системах оптической обработки изображений [1–3]. На качество преобразованных изображений и их пространственных спектров оказывают влияние шумы, обусловленные структурными неоднородностями слоев полупроводника и диэлектрика, ориентации ЖК, а также флуктуациями молекул ЖК, вызывающими рассеяние света [4]. В значительной степени шумовые характеристики ПМС зависят от режима питания и засветки. В литературе, за исключением [5, 6], отсутствуют сведения о связи шумовых или фоновых характеристик ПМС с этими факторами. Настоящая работа посвящена исследованию шумовых характеристик жидкокристаллических ПМС в зависимости от режима питания и засветки, сопоставлению их с аналогичными сигнальными характеристиками и выяснению физических механизмов, определяющих вид исследованных зависимостей.

Для ПМС на основе структуры МДП—ЖК с GaAs и планарно с ориентированным ЖК-654 (*S*-эффект) в пространственно-частотной плоскости были измерены величины дифракционной эффективности сигнала $\eta_1 = I_c/I_0$ (на входе ПМС — изображение дифракционной решетки с пространственной частотой 20 mm^{-1} , I_0 — интенсивность света в 1-м дифракционном порядке, I_0 — интенсивность считывающего света) и фона $\eta_2 = I_\phi/I_0$ (I_ϕ — интенсивность света, измеренного на той же пространственной частоте при равномерной засветке), являющегося источником шума, от амплитуды U и частоты f напряжения питания ПМС и интенсивности J стационарной входной засветки.

Зависимость η_1 и η_2 от амплитуды напряжения питания ПМС представлена на рис. 1. Так как величина дифракционной эффективности определяется разностью фаз $\delta\Phi$, приобретаемой пучком считающего света при прохождении участков НЖК с разной степенью деформации, соответствующей распределению интенсивности света на входе ПМС, то следует рассмотреть зависимость разности фаз $\delta\Phi$ от напряжения смещения на слое ЖК и напряжения питания ПМС.

Согласно [7], зависимость фазовой задержки при прохождении через $\Delta\Phi$ необыкновенного и обычного лучей слой НЖК толщиной L от напряжения смещения $U_{\text{ЖК}}$ близи порогового напряжения U_n описывается выражением

$$\frac{\delta(\Delta\Phi)}{\delta U_{ЖК}} = \frac{2\pi \cdot 2L}{\lambda} \frac{\delta(\Delta n)}{\delta U_{ЖК}} = \frac{4\pi L}{\lambda} \frac{\delta n_e}{\delta U_{ЖК}} = \frac{4\pi L}{\lambda} \frac{n_e(n_e^2 - n_0^2)}{n_0^2} \frac{1}{U_{II}} \left(\frac{K_{33}}{K_{11}} + \frac{\Delta\epsilon}{\epsilon_\perp} \right)^{-1}, \quad (1)$$

где n_e , n_0 — показатели преломления для необыкновенного и обычного лучей; λ — длина волны света считывания; K_{33} , K_{11} — коэффициенты упругости, $\Delta\epsilon = \epsilon_{||} - \epsilon_\perp$, $\epsilon_{||}$, ϵ_\perp — компоненты тензора диэлектрической проницаемости.

В (1) берется удвоенная толщина слоя ЖК вследствие двукратного прохождения через него считающего луча при отражении, а также учтен факт, что при изменении напряжения $U_{ЖК}$ меняется только показатель преломления для необыкновенного луча n_e . На рис. 2 представлена зависимость $\Delta\Phi(U_{ЖК})$,

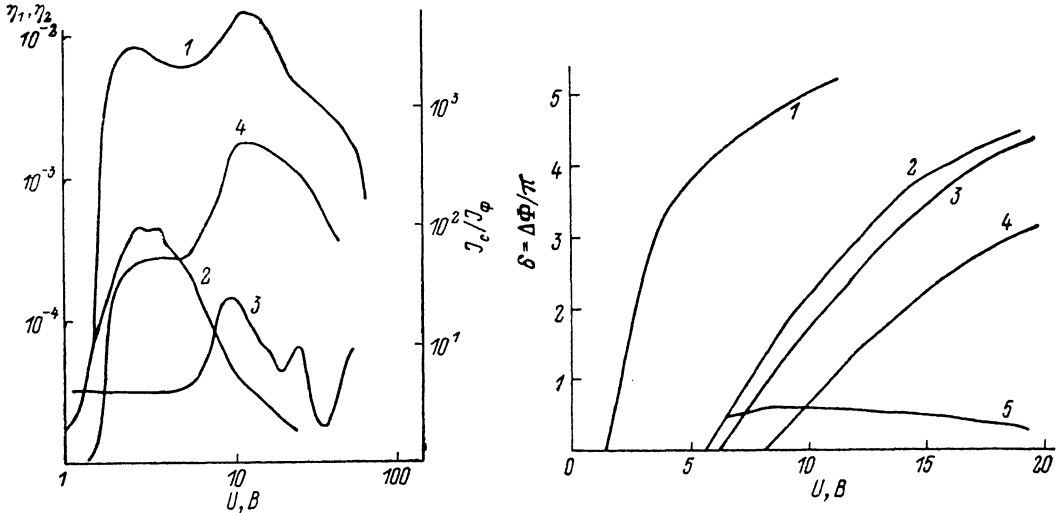


Рис. 1. Зависимость дифракционной эффективности сигнала η_1 (1) и фона η_2 (2, 3), а также отношения сигнал/фон $J_c/J_\phi \equiv \eta_1/\eta_2$ (4) (масштаб справа) от напряжений питания ПМС U , Вт/см²: 1, 2, 4 — $3 \cdot 10^{-8}$; 3 — $7 \cdot 10^{-8}$.

Рис. 2. Зависимость фазовой задержки $\Delta\Phi/\pi$, вносимой слоем ЖК в ячейке (1) и ПМС (2—4), и разности фаз $\delta\Phi/\pi$ (5), возникающей при разной деформации участков ЖК вследствие различной освещенности по апертуре фотопроводника, от напряжения смещения $U_{ЖК}$ (1) и напряжения питания ПМС U (2—5).

$L_{ЖК} = 10$ мкм, $f = 1$ кГц; J , Вт/см²: 1 — $3 \cdot 10^{-8}$, 3 — $8 \cdot 10^{-8}$, 4 — 0.

рассчитанная согласно [8, 9]. На этом же рисунке приведены зависимости $\delta\Phi$, вносимой слоем ЖК, от напряжения питания ПМС U при различных значениях J . Уменьшение порогового напряжения и увеличение крутизны кривой $\delta\Phi(U)$ с ростом J связаны с изменением перераспределения напряжения в слоях МДП структуры при различных засветках. При достаточно больших частотах ($f > 1$ кГц) распределение напряжения в слоях структуры осуществляется обратно пропорционально емкостям слоев [1—3]. Доля напряжения, падающего на слое ЖК, при этом можно описать приближенным эмпирическим соотношением

$$P = \frac{U_{ЖК}}{U} = a + b \ln J/J_{II}, \quad (2)$$

где a и b — подгоночные параметры, являющиеся функциями толщины и диэлектрической проницаемости слоев.

При заданной частоте напряжения питания f величина b связана с величиной J_{II} — интенсивности входной засветки, при которой модуляционные характеристики ПМС выходят на насыщение. Реальный наклон зависимости фазовой задержки от напряжения питания U при уменьшении засветки уменьшается по сравнению с (1) и описывается выражением

$$\frac{\delta(\Delta\Phi)}{\delta U} = \frac{4\pi L}{\lambda} \frac{\delta n_e}{\delta U_{ЖК}} \cdot P. \quad (3)$$

Для расчета зависимости дифракционной эффективности $\eta_1 = J_1(\delta\Phi)$ (J_1 — функция Бесселя первого рода, $\delta\Phi = (4\pi L \delta n)/\lambda$, $\delta n = n_r - n_c = n_e(J_T) - n_e(J_o)$, $J_o = J$ — интенсивность засветки на входе ПМС, $J_T = J_c/K$, K — контраст изображения (решетки) на выходе ПМС) от напряжения U или засветки J достаточно вычесть зависимости фазовой задержки, снятые при равномерной входной засветке для значений интенсивности J_o и J_T . Это справедливо, если считать рельеф показателей преломления полностью соответствующим рельефу интенсивности света на выходе ПМС. В противном случае надо сделать поправку на функцию передачи модуляции. Зависимость разности фаз $\delta\Phi$, определяющей величину дифракционной эффективности, от напряжения питания ПМС при условии линейной зависимости деформации слоя ЖК от напряжения смещения записывается следующим образом:

$$\begin{aligned}\delta\Phi &= \frac{4\pi L}{\lambda} [n_e(U, J_T) - n_e(U, J_o)] = \frac{4\pi L}{\lambda} \frac{\delta n_e}{\delta U_{ЖК}} [P(J_o) - P(J_T)] \cdot U = \\ &= \frac{4\pi L}{\lambda} \frac{\delta n_e}{\delta U_{ЖК}} \cdot \ln \left(\frac{J_o}{J_T} \right) \cdot b \cdot U = \frac{4\pi L}{\lambda} \frac{\delta n_e}{\delta U_{ЖК}} \cdot b \cdot \ln K \cdot U.\end{aligned}\quad (4)$$

Для малого контраста изображения на выходе ($K-1 \ll 1$) выражение (4) упрощается

$$\delta\Phi = \frac{4\pi L}{\lambda} \frac{\delta n_e}{\delta U_{ЖК}} \cdot U \cdot b \cdot (K-1). \quad (5)$$

Рассмотрим экспериментальные зависимости $\eta_1(U)$. Разность фаз $\delta\Phi$ и соответственно величина η_1 равны нулю до тех напряжений U , пока не начинается переориентация молекул ЖК в области, соответствующей более освещенной части фотополупроводника. Для этого случая зависимость $\delta\Phi(U)$ описывается выражением

$$\delta\Phi = \frac{4\pi L}{\lambda} \frac{\delta n_e}{\delta U_{ЖК}} \cdot (a + b \ln J/J_n) [U - U_n/(a + b \ln J/J_n)], \quad (4a)$$

которое для малых значений входной интенсивности J ($J/J_n - 1 \ll 1$) приводится к виду

$$\delta\Phi = \frac{4\pi L}{\lambda} \frac{\delta n_e}{\delta U_{ЖК}} \left(c + b \frac{J}{J_n} \right) \left[U - U_n \left(c + b \frac{J}{J_n} \right) \right], \quad c = a - b. \quad (5a)$$

Выражения (4a) и (5a) означают, что наклон зависимости $\eta_1(U)$ и пороговое напряжение для этой зависимости определяются не только параметрами ЖК материала, но и конструкцией ПМС (толщиной и диэлектрическими характеристиками слоев) и величиной J . При напряжениях, когда переориентируется НЖК в местах, соответствующих меньшей освещенности фотополупроводника, уменьшается крутизна зависимости $\delta\Phi(U)$ на множитель, определяемый контрастом и интенсивностью входного изображения согласно выражению (4). Максимум зависимости $\delta\Phi(U)$ наблюдается, когда зависимость $n_e(U, J_o)$ перестает быть линейной. При больших напряжениях U ориентация ЖК по всей апертуре близка к гомеотропной, следовательно, уменьшаются глубина фазового рельефа и дифракционная эффективность. В этом диапазоне напряжений величины $\delta\Phi$ и соответственно η_1 могут быть рассчитаны численно с привлечением результатов [8, 9].

При равномерной входной засветке пространственный спектр считывающего пучка света дает информацию о фоново-шумовых составляющих изображения, вносимых ПМС. Учитывая малую величину фазового набега на пространственных флуктуациях считывающего изображения по апертуре ПМС, немонотонный ход зависимости $\eta_2(U)$ не может быть объяснен так же, как и для сигнальной составляющей. При малых интенсивностях входной засветки ($J < 10^{-5}$ Втс/м²) на зависимости $\eta_2(U)$ имеется несколько максимумов. Первый максимум соответствует началу переориентации слоя ЖК при $U_{ЖК} \geq U_n$ (аналогичная картина наблюдается и в ячейках с НЖК). Его появление связано с рассеянием света, возникающим при неоднородной переориентации НЖК вследствие из-

менения по апертуре ПМС угла ориентации молекул жидкого кристалла на поверхности подложек. В условиях пространственно однородного продольного поля, силовые линии которого ортогональны плоскости подложек, величина светорассеяния должна монотонно уменьшаться вследствие уменьшения неоднородности переориентации ЖК. Появление второго максимума $\eta_2(U)$ небольшой амплитуды свидетельствует о нарушении однородности переориентации директора вследствие появления тангенциальной составляющей электрического поля на дефектах полупроводника, имеющих, вообще говоря, случайные величины размера и плотности заряда на них. Пространственные флуктуации заряда приводят к появлению составляющей переориентации, перпендикулярной направлению директора и параллельной плоскости подложек. Эта азимутальная составляющая переориентации существенно сказывается на величине светорассеяния при напряжениях, когда МДП структура переходит в обедненное состояние [10], и величина тангенциального электрического поля превышает пороговое поле для деформации ЖК в направлении, параллельном плоскости подложек. Вклад тангенциальной составляющей электрического поля становится также существенным, когда деформация ЖК, вызванная продольной составляющей поля, близка к насыщению. В этом случае наблюдается третий максимум на зависимости интенсивности фонового рассеяния от напряжения. При увеличении засветки увеличивается напряжение смещения на слое ЖК, что приводит к более быстрому насыщению деформации ЖК директора и к сближению величин напряжений, соответствующих максимумам интенсивности, вызванных неоднородностью переориентации ЖК, имеющей место как вследствие дефектов ориентации ориентирующих подложек, так и вследствие дефектов полупроводника.

Сопоставив зависимости $\eta_1(U)$ и $\eta_2(U)$, можно оценить число носителей заряда ΔN на дефектах фотополупроводника. Средняя разность напряжений смещения $U_{\text{ЖК}}$ на участках апертуры слоя ЖК, соответствующих дефектной и бездефектной частям фотополупроводника, эквивалентна разности напряжений смещения на участках апертуры слоя ЖК, соответствующих по-разному освещенным участкам фотополупроводника при наличии на входе ПМС дифракционной решетки со слабым контрастом. Это предположение основано на совпадении зависимостей $\eta_1(U)$ и $\eta_2(U)$ при напряжениях, близких к порогу деформации слоя ЖК. Зная из зависимости фазовой задержки, вносимой слоем НЖК, от напряжения смещения разность $\delta n = n_p - n_o$, при которой происходит изменение фазы считывающего света на 1π , и из этой же зависимости разность напряжений смещения на слое ЖК на участках, соответствующих участкам фотополупроводника с разной освещенностью на входе $\delta U_{\text{ЖК}} = U_c - U_t \approx 0.5$ В, по отношению η_2 и η_1 в максимумах их зависимостей от U можно оценить величину ΔN . При этом берется приблизительно $\eta \sim \sin^2 \delta \Phi$ и считается, что напряжение в структуре ПМС распределяется обратно пропорционально емкостям слоев. Так, при $\eta_1/\eta_2 \approx 50$ (рис. 1) и толщинах слоев $L_{\text{ЖК}} = 10$ мкм, $L_{\text{ФВ}} = 100$ мкм путем несложных вычислений получаем $\Delta N = 10^{12}$ см⁻², что соответствует плотности оборванных связей в монокристалле арсенида галлия [11] или числу атомов в дислокациях на единице площади с учетом длины дислокаций [12].

Зависимости η_1 и η_2 от частоты f , снятые при фиксированном напряжении U (рис. 3), интересно сопоставить с аналогичными зависимостями доли напряжения питания ПМС U , падающего на слое ЖК $U_{\text{ЖК}}/U$ (кривые 5, 5'). При равномерной засветке на входе по максимумам или минимумам интенсивности считывающего света в изображении определялась фазовая задержка $\Delta \Phi(U)$, которая затем сопоставлялась сизмеренной в ЖК ячейке зависимостью $\Delta \Phi(U_{\text{ЖК}})$, и при заданных значениях U и $\Delta \Phi$ находилось значение $U_{\text{ЖК}}$. В отсутствии входной засветки зависимости η_1 и $U_{\text{ЖК}}/U$ от f ведут себя совершенно одинаково по закону $(2\pi f\tau)^2/(1+4\pi^2f^2\tau^2)$, где τ — характерное время релаксации. Такая зависимость получается, если рассчитать $U_{\text{ЖК}}/U$, представив МДП и ЖК слой ПМС в виде схемы с эквивалентными сопротивлениями и емкостями [1, 2, 13]. Сопоставляя, например, кривые 1, 2 и 5' на рис. 3, можно качественно объяснить ход зависимостей η_1 и η_2 от f . При достаточно высоких частотах ($f > 100$ кГц) уровень сигнальных характеристик совпадает с уровнем

фоновых при всех засветках. С уменьшением f растет доля $U_{ЖК}/U$, а также значения η_2 и η_1 . Наличие двух максимумов на зависимости $\eta_1(f)$, так же как и на зависимости $\eta_2(U)$ (кривая 1 на рис. 1), объясняется тем, что в этом диапазоне напряжений разность $\delta n = n_T - n_c$ приводит к разности фаз $\delta > 1\pi$. Максимум $\eta_2(f)$ достигается при большей частоте f , чем максимум η_1 , т. е. при меньшей величине $U_{ЖК}/U$. Это соответствует меньшему напряжению для максимума $\eta_2(U)$ (ср. кривые 1 и 2 на рис. 1). При дальнейшем снижении частоты доля $U_{ЖК}/U$ растет, но дифракционная эффективность падает, так как при больших напряжениях на слое ЖК уменьшается разность показателей преломления $n_T - n_c$. Увеличение η_1 и η_2 в области частот $f < 100$ Гц связано

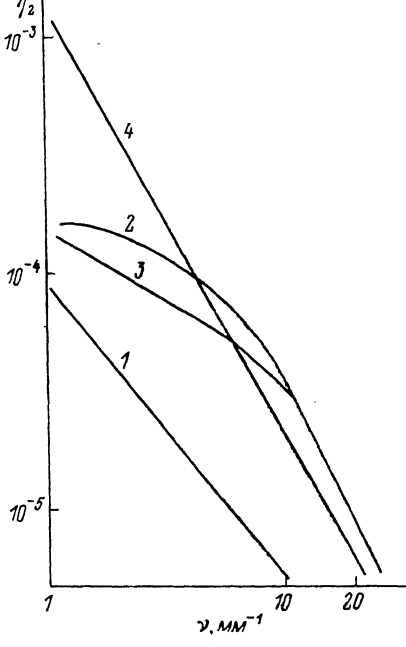
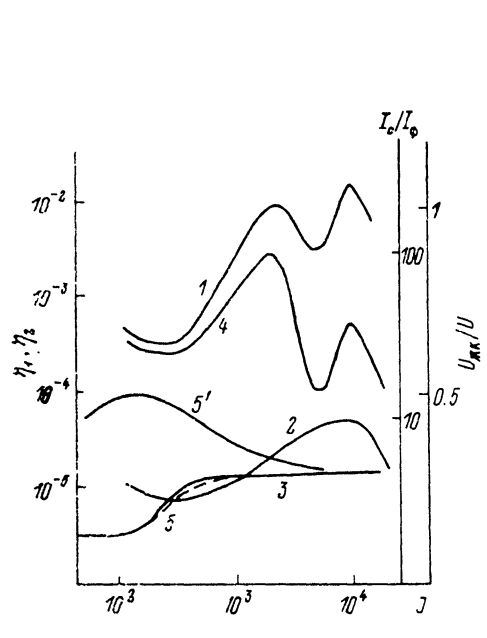


Рис. 3. Зависимость дифракционной эффективности сигнала η_1 (1) и фона η_2 (2, 3), отношения сигнал/фон (4) (масштаб справа), отношения $U_{ЖК}/U$ (5, 5') (масштаб справа) от частоты напряжения питания f .

1, 2, 4, 5' — $J=3 \cdot 10^{-3}$ Вт/см²; 3, 5 — 0.

Рис. 4. Пространственные спектры света, рассеянного жидкокристаллическим слоем ПМС при равномерной засветке на входе.

J , Вт/см²: 1, 2 — 0; 3 — 10^{-4} , 4 — $3 \cdot 10^{-3}$; U , В: 1 — 0; 2, 4 — 8; 3 — 15; f , кГц: 2, 4 — 3,8; 3 — 2,4.

с уменьшением доли $U_{ЖК}/U$ вследствие экранировки полупроводника [10]. При уменьшении внешней засветки J падает максимальная величина зависимостей $\eta_1(f)$ и $\eta_2(f)$, а положение максимума сдвигается в область более низких частот, что полностью согласуется с аналогичными зависимостями η_1 , $\eta_2(U)$, если принять во внимание частотные зависимости $U_{ЖК}/U$.

На рис. 4 приведены пространственные спектры фонового рассеяния при различных входных засветках. Светорассеяние недеформированного слоя НЖК незначительно по сравнению со светорассеянием, вызванным пространственными флуктуациями заряда в диэлектрическом зеркале и фотополупроводнике (кривая 1). На высоких пространственных частотах величина светорассеяния практически не зависит от f и описывается соотношением $\eta_2 \sim v^{-2}$, что согласуется с выводами [14]. При $v \rightarrow 0$ величина η_2 возрастает с увеличением J . Это связано с более глубоким проникновением в объем слоя ЖК силовых линий электрического поля, замыкающихся на дефектах фотополупроводника, при большем числе фотогенерированных зарядов, а также с временными флуктуациями концентрации этих зарядов.

Таким образом, в настоящей работе описана физическая модель шумов жидкокристаллических модуляторов света с монокристаллическими полупро-

водниками, позволяющая выбрать оптимальный по отношению сигнал/фон режим питания ПМС, предложен способ математического описания зависимости дифракционной эффективности ПМС от напряжения питания, дается оценка числа дефектов фотополупроводника по интенсивности рассеянного слоем ЖК света.

В заключение авторы благодарят В. С. Куприченко за помощь в работе, С. П. Берестнева, А. А. Васильева за полезное обсуждение результатов, Н. Ф. Ковтонюка за конструктивную критику работы.

Список литературы

- [1] Васильев А. А., Касасент Д., Компанец И. Н., Парфенов А. В. Пространственные модуляторы света. М.: Радио и связь, 1987. 320 с.
- [2] Думаревский Ю. Д., Ковтонюк Н. Ф., Савин А. И. Преобразование изображений в структурах полупроводник—диэлектрик. М.: Наука, 1987. 176 с.
- [3] Владимирос Ф. Л., Моричев И. Е., Плетнева Н. И. // ОМП. 1984. № 3. С. 54—63.
- [4] Беляев В. В., Аннин С. Н., Иванов С. А. и др. // Тез. докл. I Всесоюз. конф. «Оптика жидкых кристаллов». М., 1987. С. 179.
- [5] Берестнев С. П., Бондура В. Г., Данилов Ю. И. и др. // РИЭ. 1985. Т. 30. № 6. С. 1212—1216.
- [6] Новиков А. В. Тез. докл. I Всесоюзн. конф. «Оптика жидких кристаллов». М., 1987. С. 194.
- [7] Чигринов В. Г., Гребенкин М. Ф. // Кристаллография. 1975. Т. 20. № 4. С. 1240—1244.
- [8] Balzarini D. A., Dunmire D. A., Paiffy-Muhoray P. // Mol. Cryst. Liq. Cryst. 1984. Vol. 102. P. 35.
- [9] Welford K. R., Sambles J. R. // Mol. Cryst. Liq. Cryst. 1987. Vol. 147. P. 25—42.
- [10] Ковтонюк Н. Ф. Электронные элементы на основе структур полупроводник—диэлектрик. М.: Энергия, 1976. 183 с.
- [11] Осинский В. И. Интегральная оптоэлектроника. Минск: Наука и техника, 1977. 103 с.
- [12] Марков А. В., Морозов А. Н. // ФТП. 1986. Т. 20. Вып. 1. С. 154—156.
- [13] Fraas L. M., Grinberg J., Bleha W. P., Jacobson A. D. // J. Appl. Phys. 1976. Vol. 47. N 2. P. 576—583.
- [14] Гитина Б., Каретников А. А., Томилин М. Г. // Тр. ГОИ. 1986. № 194. С. 48—56.

Поступило в Редакцию
19 сентября 1989 г.